

## H<sub>2</sub>-CO<sub>2</sub> 중에서 FeAl<sub>2</sub>O<sub>4</sub>의 생성기구와 CO<sub>2</sub> 중에서의 거동(I)

이홍림 · 강명구

연세대학교 공과대학 요임공학과

(1982년 9월 9일 접수)

## Formation of FeAl<sub>2</sub>O<sub>4</sub> in H<sub>2</sub>-CO<sub>2</sub> and its behavior in CO<sub>2</sub> (I)

Hong-Lim Lee and Myung-Koo Kang

Department of Ceramic Engineering, Yonsei University

(Received Sept. 9, 1982)

### ABSTRACT

FeAl<sub>2</sub>O<sub>4</sub> was formed from the starting material of Fe<sub>2</sub>O<sub>3</sub> and Al<sub>2</sub>O<sub>3</sub> by controlling the oxygen partial pressure using H<sub>2</sub>-CO<sub>2</sub> gas mixture, over the temperature range of 800~1200°C. The formation mechanism of FeAl<sub>2</sub>O<sub>4</sub> was found to be a second order chemical reaction, and the activation energy of formation was observed as 39.97 kcal/mole. Vaporization behavior of FeAl<sub>2</sub>O<sub>4</sub> under CO<sub>2</sub> atmosphere was observed over the temperature range of 800~1200°C. FeAl<sub>2</sub>O<sub>4</sub> was vaporized by a second order chemical reaction and the activation energy was found to be 21.8kcal/mole. Electrical conductivity of FeAl<sub>2</sub>O<sub>4</sub> was also measured.

### 1. 서 론

Fe<sub>3</sub>O<sub>4</sub>의 좋은 전기 전도성과 FeAl<sub>2</sub>O<sub>4</sub>의 좋은 내화성의 결합은 MHD 발전기에서의 전극물질로서 아주 유용한 스파넬 고용체를 만드는 것으로 알려져 있어 이에 대한 연구가 요구되고 있다<sup>1,2,3)</sup>. FeAl<sub>2</sub>O<sub>4</sub>는 Fe+Fe<sub>3</sub>O<sub>4</sub>+Al<sub>2</sub>O<sub>3</sub>를 적당한 비율로 혼합함에 의해서 합성 할 수 있다<sup>4)</sup>. FeAl<sub>2</sub>O<sub>4</sub>와 Fe<sub>3</sub>O<sub>4</sub>의 고용체는 수용액으로부터 연속적인 제조법에 의해서 순수화 시킨 암모늄 링 반(ammonium alums)의 분해에 의해서 준비 되어진 미세분말의 고용체로부터 hot pressing 하여 만들 수가 있다<sup>5)</sup>. 본 연구에서는 Fe<sub>2</sub>O<sub>3</sub> 와 Al<sub>2</sub>O<sub>3</sub>로부터 H<sub>2</sub>-CO<sub>2</sub>에 의한 혼합기계로 산소분압을 조절하며 1300°C에서 Fe-Al<sub>2</sub>O<sub>4</sub>를 제조했다. 그리고 FeAl<sub>2</sub>O<sub>4</sub>가 생성되기까지의 환원에 의한 증발반응 기구와 실제의 전극으로 사용되는 조건인 800~1200°C의 온도 범위에서 실제 사용기체 중에 다량으로 존재하는 CO<sub>2</sub>분위기 하에서의 FeAl<sub>2</sub>O<sub>4</sub>의 산화반응 기구를 밝혔다.

### 2. 실험

#### 2.1 사료 및 시편제조

본 실험에 사용한 Fe<sub>2</sub>O<sub>3</sub>와 Al<sub>2</sub>O<sub>3</sub>는 일본산 특급시약을 사용하였으며 X선 분석을 해 본 결과 순수한 α-Fe<sub>2</sub>O<sub>3</sub>와 α-Al<sub>2</sub>O<sub>3</sub>임을 알았다. 이 Fe<sub>2</sub>O<sub>3</sub>와 Al<sub>2</sub>O<sub>3</sub>를 몰비 1:2로 협하여 유발에서 30분정도 잘 혼합한 후에 약 1.5g의 분말을 1800kg/cm<sup>2</sup>의 압력으로 가압成型하여 pellet 상의 시편을 제조하고 공기중에서 SiC를 발열체로 하는 전기로에서 1300°C에서 2시간 동안 소결하였다. 소결 도중에 오염되었을 가능성이 있으므로 SiC 연마지로 표면을 연마 하였다.

#### 2.2 실험장치 및 측정방법

Fig. 1에 나타낸 것처럼 반응로는 관상실리코나트를 발열체로 하는 전기로를 사용 하였으며 온도는 자동조절 장치에 백금 도료 열전대 (pt-pt · Rh13%)를 연결하여 측정하였다. 발열체 내에 몰라이트 반응관을 설치하고 그속에 제조된 pellet를 몰라이트 보호트에 담아서 발열체 중심부에 위치 시켰으며 그 윗 부분에 열전대의 끝이 오도록 했다. 실험온도는 800~1200°C 범위이고 산소분압은 혼합가스 H<sub>2</sub>-CO<sub>2</sub>를 사용하여 조절할 수 있는데 Muan 등<sup>5)</sup>의 이론에 의해서 산소분압과 CO<sub>2</sub>/H<sub>2</sub>의 비의의 관계를 온도를 매개변수로 하여 나타내면 Fig. 2와 같다. Kohl과 Stearn<sup>6)</sup>은 산화철의 상

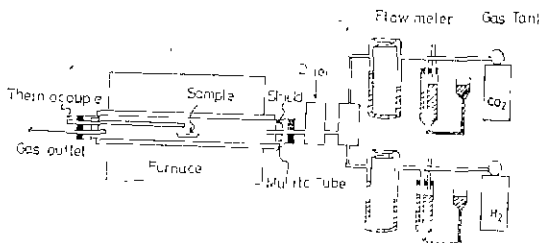


Fig. 1 Schematic view of experimental apparatus.

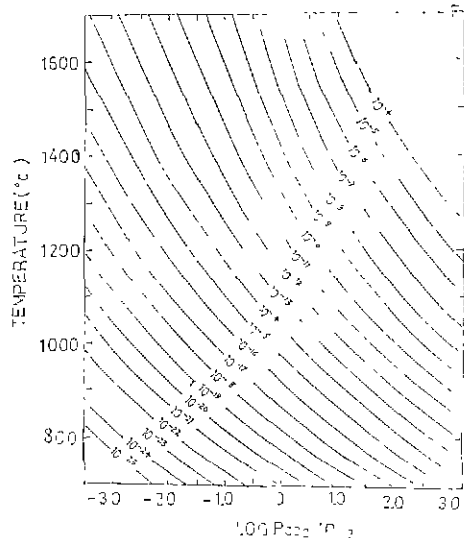
Fig. 2 Temperature dependence of oxygen partial pressure with the mixture ratio  $\text{CO}_2/\text{H}_2$ 

Table 1. Oxygen partial pressure of Phase boundary

Phases	Oxygen Partial Pressure
$\text{Fe}_2\text{O}_3/\text{Fe}_3\text{O}_4$	$\log \text{PO}_2 = -24450/T + 14.072 \dots (1)$
$\text{Fe}_3\text{O}_4/\text{FeO}$	$\log \text{PO}_2 = -29960/T + 11.935 \dots (2)$
$\text{FeO}/\text{Fe}$	$\log \text{PO}_2 = -27950/T + 6.405 \dots (3)$

경계에 있어서 평형 산소분압을 온도의 함수로 보고 한다는 데 이것을 Table 1에 나타내었다.

본 연구에서는 초기물질을  $\text{Fe}_2\text{O}_3$ 과  $\text{Al}_2\text{O}_3$ 로 하였기 때문에  $\text{FeO}$ 의 안정산소분압을 유지 시켜주어야  $\text{FeO} \cdot \text{Al}_2\text{O}_3$ 가 생성하게 된다. Table 1과 Fig. 2로 부터 각 온도에서의  $\text{FeO}$ 의 안정산소분압을 그렸을 때  $\text{H}_2$ 와  $\text{CO}_2$ 의 비가 1:1이 되면 800~1200°C의 온도범위에서  $\text{FeO}$ 의 안정산소분압이 평을 할 수 있었다. 따라서 본 연구에서는 혼합가체강체를 사용하여  $\text{H}_2$ 와  $\text{CO}_2$ 를 각각  $1\text{cm}^3/\text{s}$ 의 유속으로 하여 실리카겔을 통과시켜 시로에

흘려 보냈다. 시로의 온도는  $7^\circ\text{C}/\text{min}$ 의 속도로 증온을 하였으며 증온의 경우와 마찬가지로 냉각 때에도  $\text{H}_2$ 와  $\text{CO}_2$ 비를 1:1로 유지시켰다. 증발 반응률 측정은 transpiration 법<sup>7,8)</sup>을 사용하였으며 반응전후의 질량변화를 micro balance로 측정함으로써  $\text{Fe}_2\text{O}_3$ 가  $\text{FeO}$ 로 변화할 때 증발하는 산소질량을 기준으로 하여 실제로 측정되는 질량감소의 비율을 구하여 이것을 반응률로 하였다.

또한 연소가스 중에는  $\text{CO}_2$ 가 다량이 포함되어 있기 때문에 전국제로가  $\text{CO}_2$ 분위기 하에서 어떠한 거동을 나타내는지를 연구할 필요가 있다. 따라서  $\text{Fe}_2\text{O}_3$ 와  $\text{Al}_2\text{O}_3$ 를 몰비 1:2로 혼합하여 만든 pellet을  $\text{H}_2\text{-CO}_2$  분위기 하에서  $1300^\circ\text{C}$ 에서 2시간 유지시켜 주어서 순수한  $\text{FeAl}_2\text{O}_4$ 를 만든 다음 X선으로 확인을 하였다. 그리고 이 시로에  $\text{CO}_2$ 를  $1\text{cc}/\text{s}$ 씩 흘러 보내면서 각온도에서 반응률을 측정하였다.

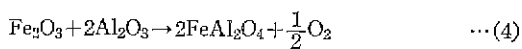
### 2.3 전기전도도 측정

각 온도에서 5시간씩 유지시킨 시편에 대하여 전기전도도를 측정하기 위하여 표면을 연마하고 양면에 silver paste를 접착제로 하여 구리선을 부착한 다음 격의선 램프를 사용하여 10시간 정도 전조를 시켰다. 그런 다음 digital multimeter를 사용하여 상온에서 전기저항을 측정하여 전기전도도를 구하였다.

### 3. 결과 및 고찰

#### 3.1 분위기 기체와 각 산화철의 산소분압의 관계

Table 1의 (2)식과 (3)식의 사이에 해당하는 산소분압값이 각 온도에서  $\text{FeO}$ 의 안정산소분압에 해당한다. 따라서 이 범위의 산소분압을 유지시켜 주었을 때 초기물질  $\text{Fe}_2\text{O}_3$ 와  $\text{Al}_2\text{O}_3$ 는 다음식에 의해서  $\text{FeAl}_2\text{O}_4$ 로 변화하게 된다.



그리고  $\text{CO}_2$ 분위기의 각 실험온도에서의 산소분압값을 열역학 data<sup>9)</sup>를 사용하여 계산하여 Table 2에 나타내었으며 Fig. 3에 각 산화철이 안정한 산소분압영역과  $\text{CO}_2$ 분위기중의 산소분압을 함께 나타내었다.

Table 2. Oxygen partial pressure of  $\text{CO}_2$ 

T(°C)	$\text{PO}_2(\text{atm})$
900	$2.75 \times 10^{-6}$
1000	$1.25 \times 10^{-5}$
1100	$4.57 \times 10^{-5}$
1200	$1.40 \times 10^{-4}$
1300	$3.72 \times 10^{-4}$

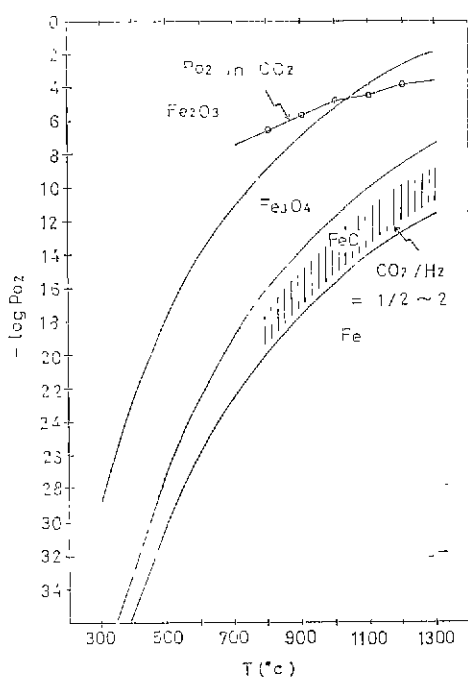


Fig. 3 Stable oxygen partial pressure of Fe<sub>2</sub>O<sub>3</sub>, Fe<sub>3</sub>O<sub>4</sub>, FeO and Fe

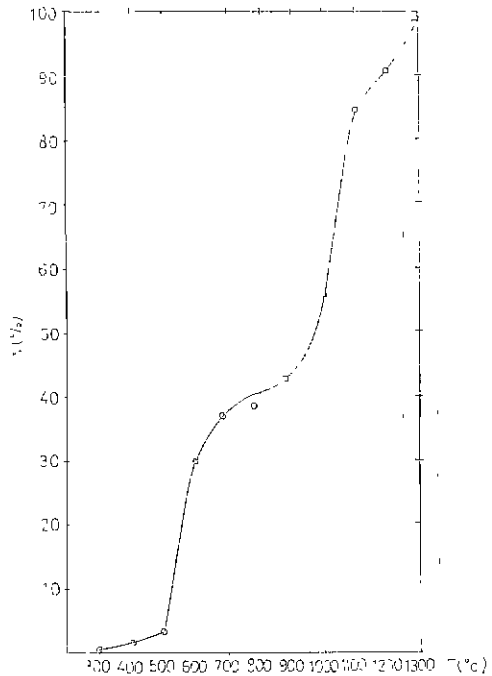
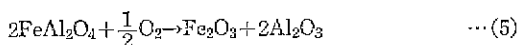


Fig. 4 Temperature dependence of conversion of formation of FeAl<sub>2</sub>O<sub>4</sub>

H<sub>2</sub>와 CO<sub>2</sub>의 비가 1:1일 때의 산소분압은 FeO의 안정 산소분압에 빗금천부분에 해당하며 CO<sub>2</sub>중의 산소분압은 800, 900, 1000°C에서는 Fe<sub>2</sub>O<sub>3</sub>의 안정 산소분압에 포함되어 있다가 1100, 1200°C에서는 Fe<sub>3</sub>O<sub>4</sub>의 안정상 영역내로 옮겨 가는 것을 알 수 있다. Table 1과 Table 2로부터 구해보면 1026°C 이하가 Fe<sub>2</sub>O<sub>3</sub>의 안정상 영역이고 그 온도 이상은 Fe<sub>3</sub>O<sub>4</sub>의 영역이 된다. 그리고 1935°C 이상이 되면 FeO의 안정 산소분압이 된다. 한편 CO<sub>2</sub>분위기 하에서 FeAl<sub>2</sub>O<sub>4</sub>가 산화될 때의 반응은 다음과 같이 쓸 수 있다.



### 3. 2. H<sub>2</sub>-CO<sub>2</sub> 분위기 하에서 FeAl<sub>2</sub>O<sub>4</sub>의 생성 때의 반응기구

Fig. 4는 초기물질 Fe<sub>2</sub>O<sub>3</sub>와 Al<sub>2</sub>O<sub>3</sub>로부터 H<sub>2</sub>-CO<sub>2</sub> 분위기 하에서 FeAl<sub>2</sub>O<sub>4</sub>로 변화 할 때의 반응률(%)을 나타낸 것인데 각 온도에서 1시간씩 육지 시켜 주었을 때의 반응률이다. Fig. 4에서 알 수 있듯이 500~600°C에서 급격한 반응률의 증가를 보이고 있는데 이 것은 Fe<sub>2</sub>O<sub>3</sub>가 Fe<sub>3</sub>O<sub>4</sub>로 변화하고 있는 것으로 추측되

고 1000~1100°C 사이에서도 마찬가지 경향을 나타내고 있는데 이것은 Fe<sub>3</sub>O<sub>4</sub>로부터 FeO-Al<sub>2</sub>O<sub>3</sub>로의 환원을 나타내는 것으로 추측된다. 색깔의 변화로도 알 수가 있는데 처음에 밝은색이었던 것이 600°C에서는 검은색으로 변했고 1100°C에서는 짙은 녹색으로 변화했다. 그리고 1300°C에서 1시간 유지 시켜주었을 때의 시편은 98%까지의 반응률을 보임으로써 거의 순수한 FeAl<sub>2</sub>O<sub>4</sub>가 생성됨을 보이고 있는데 X선 분석 결과 순수한 FeAl<sub>2</sub>O<sub>4</sub>만이 생성하였음을 확인했다. Fig. 5는 각 온도에서 1~5시간에 걸쳐서 반응률을 측정한 것인데 1200°C에서 5시간 유지 시켜 주었을 때도 98%까지의 반응률을 나타내고 있다. 반응기구를 밝히기 위해 확산 및 1차계면화학 반응식에 대해서 plot 하였을 때는 매우 큰 오차를 보였고 2차계면화학 반응식

$$X/(1-X) = k \cdot t \quad \dots\dots(6)$$

에 대해서 plot 해본 결과 매우 잘 일치하고 있음을 보여주었는데 이것을 Fig. 6에 나타내었다. Fig. 7로부터 활성화 에너지 값을 구하면 39.97kcal/mol 이었다. FeAl<sub>2</sub>O<sub>4</sub>가 생성할 때 각 온도에서 5시간씩 유지시킨 시편의 X선회절 분석결과를 Fig. 8에 나타내었다.

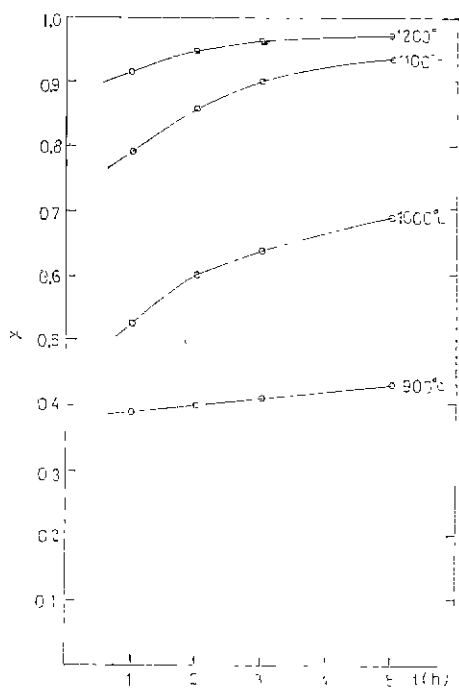


Fig. 5 Time dependence of conversion for

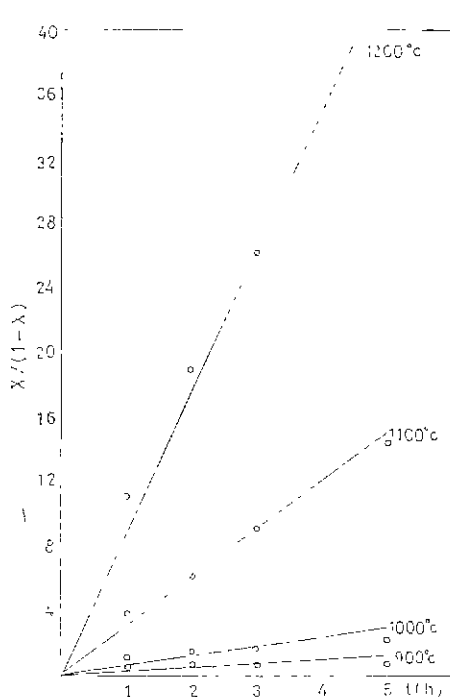
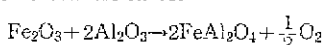
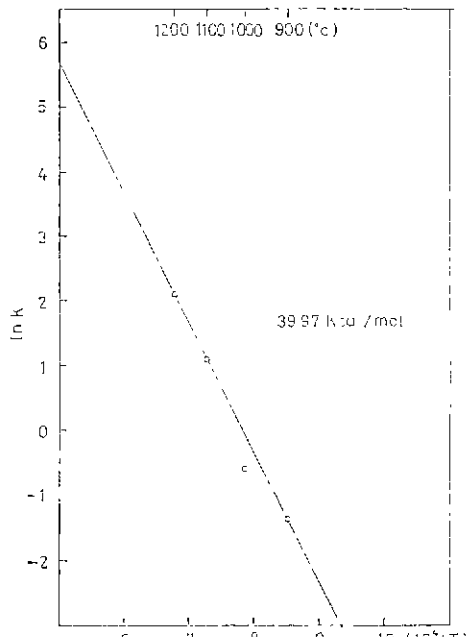
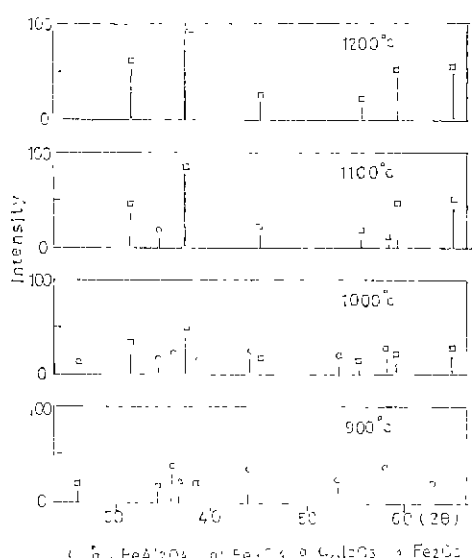
Fig. 6 Plot of  $X/(1-X)$  vs time

Fig. 7 Arrhenius plot of K

Fig. 8 X-ray diffraction pattern in  $\text{CO}_2 + \text{H}_2$ 

$\text{FeAl}_2\text{O}_4$ 는  $1000^\circ\text{C}$ 에서 성기기 시작하여  $1200^\circ\text{C}$ 에서 완전히  $\text{FeAl}_2\text{O}_4$  만이 생성됨을 나타내고 있고  $\alpha\text{-Al}_2\text{O}_3$ 와  $\text{Fe}_3\text{O}_4$ 는 온도가 올라감에 따라 점점 즐어들어  $1100^\circ\text{C}$ 에서 아주 미세하게 남아있다. 그리고  $900^\circ\text{C}$ 에

H<sub>2</sub>-CO<sub>2</sub> 중에 시 FeAl<sub>2</sub>O<sub>4</sub>의 생성기구와 CO<sub>2</sub> 중에서의 거동(Ⅰ)

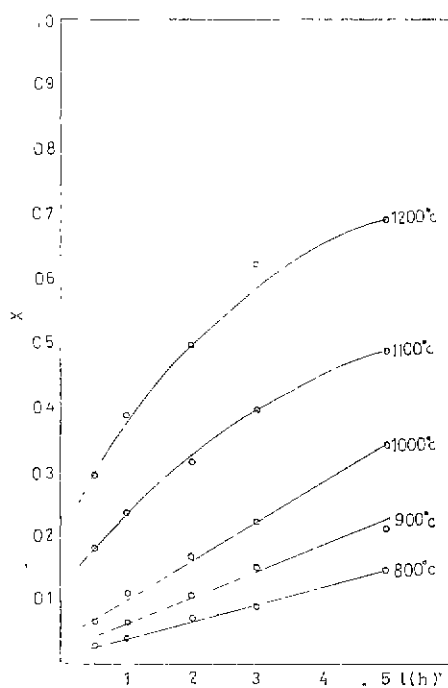


Fig. 9 Time dependence of conversion

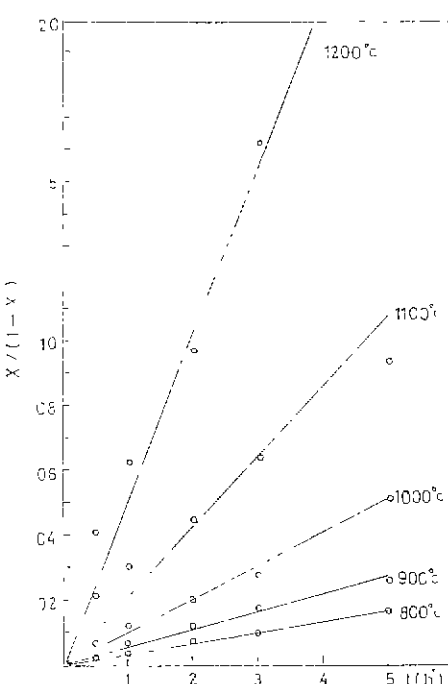


Fig. 10 Plot of X/(1-X) vs time

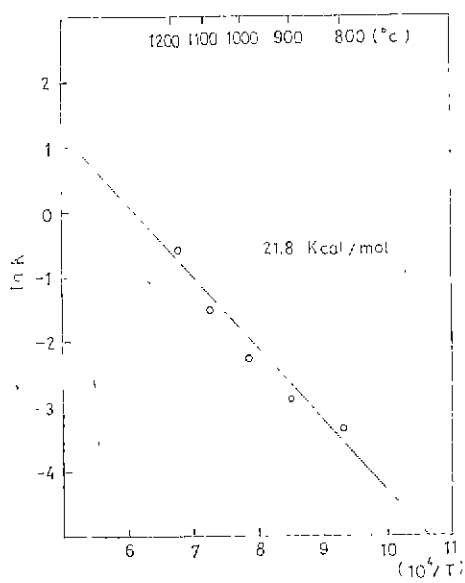


Fig. 11 Arrhenius plot of K

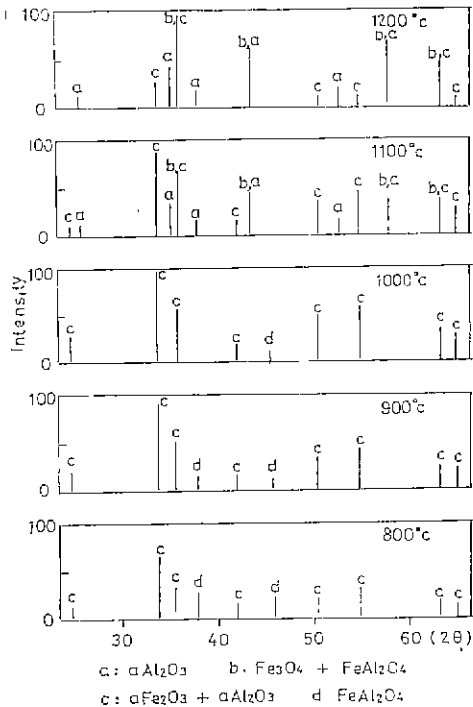


Fig. 12 X-ray diffraction pattern of FeAl<sub>2</sub>O<sub>4</sub> in CO<sub>2</sub>

서 미량의  $\text{Fe}_2\text{O}_3$ 가 남아있음을 알 수 있다.

### 3.3 $\text{CO}_2$ 분위기 하에서 $\text{FeAl}_2\text{O}_4$ 의 산화반응 기구

$\text{FeAl}_2\text{O}_4$ 의  $\text{CO}_2$ 중에서의 거동을 살펴본 결과 Fig. 9 와 Fig. 10에서 알 수 있는 바와 같이  $\text{FeAl}_2\text{O}_4$ 가 생성될 때의 반응기구와 마찬가지로  $\text{FeAl}_2\text{O}_4$ 를  $\text{CO}_2$ 분위기 하에서 사용할 때도 2차계면화학 반응이 지배하고 있음을 보여주고 있다. 이에 Fig. 11로부터 활성화에너지지를 구하면 21.8kcal/mol의 값을 얻게 된다. Fig. 12는  $\text{CO}_2$ 분위기 하에서  $\text{FeAl}_2\text{O}_4$ 가 산화될 때 각 온도에서 5시간씩 유지시킨 시편의 X선 분석결과이다. 온도가 올라감에 따라  $\text{FeAl}_2\text{O}_4$ 는 점점 줄어들고  $\alpha\text{-Fe}_2\text{O}_3$ 와  $\alpha\text{-Al}_2\text{O}_3$ 의 고용체가 1000°C에서 가장 많이 생겼다가 1100°C부터는 줄어든다. 그리고 이 온도에서  $\text{Fe}_2\text{O}_4$ 와  $\text{FeAl}_2\text{O}_4$ 의 고용체가 생성되며  $\alpha\text{-Al}_2\text{O}_3$ 가 역시 형성되기 시작한다. 이것은 Fig. 3의 산화철의 안정 산소분압 영역 폭선과 비교하니 보면 잘 일치함을 알 수 있다. 즉 1000°C까지는  $\text{Fe}_2\text{O}_3$ 의 안정 산소분압내에 포함되기 때문에 1000°C까지  $\text{Fe}_2\text{O}_3$ 와  $\text{Al}_2\text{O}_3$ 의 고용체가 생성되어 1100°C부터는  $\text{Fe}_3\text{O}_4$ 의 안정상으로 들어가기 때문에  $\text{Fe}_2\text{O}_3$ 와  $\text{Al}_2\text{O}_3$ 의 고용체는 줄어들기 시작하며 대신  $\text{Fe}_3\text{O}_4$ 와  $\text{FeAl}_2\text{O}_4$ 의 고용체가 생성하기 시작하는 것이다. Fig. 12 내에서 b, c, b, a,로 표시한 것은 peak가 겹친 것을 나타내고 있다.

### 3.4 전기전도도

Fig. 13은  $\text{FeAl}_2\text{O}_4$ 가 생성될 때의 전기전도도 측정결과를 나타낸 것이다. Fig. 13에서 보면 800°C에서 가장 높은 전기전도도를 나타내고 있는데 이것은 이 온도에서  $\text{Fe}_3\text{O}_4$ 가 가장 많이 생성되었음을 알 수 있는 것이고 온도가 올라감에 따라서 Fig. 8에서  $\text{Fe}_3\text{O}_4$ 의 X선 peak의 강도가 감소하는 것으로부터 알 수 있듯이  $\text{Fe}_3\text{O}_4$ 가 줄어듬에 따라서 전기전도도가 떨어지는 것으로 생각된다. Adler<sup>10)</sup>는 각 온도에서  $\text{Fe}_3\text{O}_4$ ,  $\text{FeO}$ ,  $\text{Fe}_2\text{O}_3$ 의 전기전도도를 측정하였는데  $\text{Fe}_3\text{O}_4$ 의 전기전도성이 뛰어남을 나타내고 있다.  $\text{FeO}$ 도 높은 전기전도도를 나타내지만 본 실험에서는 고용체의 형태로 나타났기 때문에 전기전도도가 계속 떨어지고 있다. Fig. 14는  $\text{FeAl}_2\text{O}_4$ 가  $\text{CO}_2$  분위기 하에서 산화될 때의 전기전도도를 나타내고 있는데 1000°C까지  $\text{Fe}_2\text{O}_3$  안정상 영역내에 있을 때는  $10^{-7}(\Omega\text{cm})^{-1}$  정도의 전기전도도를 나타내고 있던 것이 1026°C를 넘어서  $\text{Fe}_3\text{O}_4$ 의 안정상 영역내로 들어감에 따라서 전도도가 급격히 늘어짐을 나타내고 있다.

## 4. 결 론

800~1200°C 범위에서  $\text{H}_2\text{-CO}_2$  분위기 하에서  $\text{FeAl}_2$

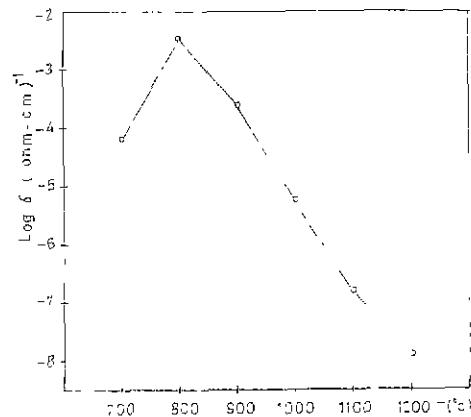


Fig. 13 Electrical conductivity for the formation of  $\text{FeAl}_2\text{O}_4$  in  $\text{CO}_2\text{-H}_2$

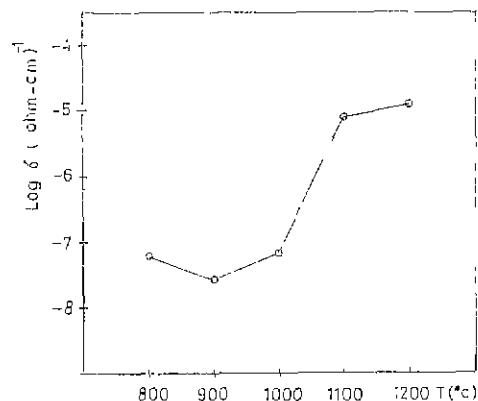


Fig. 14 Electrical conductivity of  $\text{FeAl}_2\text{O}_4$  in  $\text{CO}_2$

$\text{O}_4$ 의 생성반응 기구와  $\text{CO}_2$ 분위기 하에서  $\text{FeAl}_2\text{O}_4$ 의 산화반응 거동을 관찰하여 다음과 같은 결론을 얻었다

1.  $\text{FeAl}_2\text{O}_4$ 가  $\text{H}_2\text{-CO}_2$ 중에서 생성될 때의 반응기구와  $\text{CO}_2$  분위기 중에서  $\text{FeAl}_2\text{O}_4$ 의 산화반응기구가 모두 2차계면화학 반응이라는 것을 알았다.

2.  $\text{FeAl}_2\text{O}_4$ 의 생성반응에 대한 활성화에너지는 39.97 kcal/mol이고  $\text{CO}_2$ 중에서의 산화반응에 대한 활성화에너지는 21.8kcal/mol이었다.

3.  $\text{CO}_2$ 중의 산소분압은 1026°C까지는  $\text{Fe}_2\text{O}_3$ 의 안정 산소분압이었다가 1026°C부터 1935°C까지는  $\text{Fe}_3\text{O}_4$ 의 안정 산소분압이 되며 이 온도 이상에서는  $\text{FeO}$ 의 안정상 속으로 옮겨 가는데  $\text{Fe}_3\text{O}_4$ 가 안정한 상을 이루는 조건에서 전기전도도의 값이 가장 높았다.

References

1. C.E. MEYERS, T.O. MASON, W.T. PETUSKEY, J.W. HALLORAN, and H.K. BOWEN, "Phase Equilibria in the System Fe-Al-O" *J. Am. Ceram. Soc.*, **63** (11-12) 659-663 (1980)
2. T.O. MASON and H.K. BOWEN, "Electronic Conduction and Thermopower of Magnetite and Iron Aluminate Spinel", *J. Am. Ceram. Soc.*, **64**(4) 237-242 (1981)
3. J.W. HALLORAN and H.K. BOWEN, "Iron Diffusion in Iron Aluminate Spinel", *J. Am. Ceram. Soc.*, **63**(1-2) 58-65(1980)
4. A. PETRIC, K.T. JACOB, and C.B. ALCOCK, "Thermodynamic Properties of Fe<sub>3</sub>O<sub>4</sub>-FeAl<sub>2</sub>O<sub>4</sub> Spinel Solid Solutions" *J. Am. Ceram. Soc.*, **64** (11) 632-639 (1981)
5. A. MUAN and E.F. OSBORN, "Phase Equilibria Among Oxides Insteelmaking", Addison-Wesley Publishing Company Inc. (1965)
6. F.J. KOHL, C.A. STEARN, NASA. TMX-67980
7. T. SASAMOTO, K. NIZUSHIMA, and T. SATA, "Transpiration Study of the Reaction of Water Vapor with Barium Oxide" *Bul. Chem. Soc. Jap.*, **52**(7) 2127-2129 (1979)
8. H.L. LEE, C.E. KIM, "High Temperature Vaporization of High Melting Point Oxides" *HWAHAK KONGHAK* **16**(5) 333-340 (1978)
9. O. KUBASCHEWSKI and C.B. ALCOCK, "METALLURGICAL THERMOCHEMISTRY", International Series on Materials Science and Technology. **24** 378
10. KINGERY, BOWEN, and UHIMANN, "Introduction to Ceramics" A Wiley-Interscience Publication 867